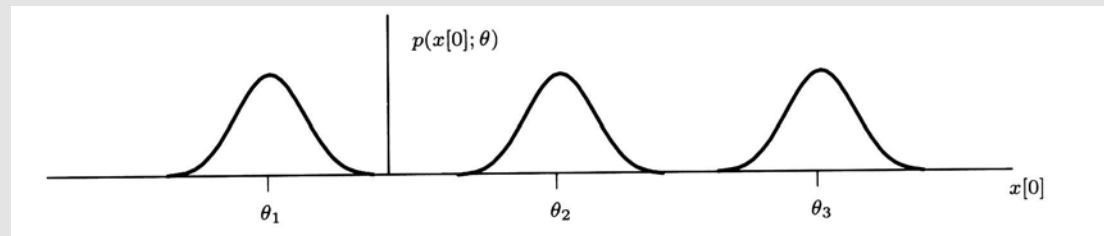


Das Schätzproblem

Geg.: N-elementiger Datensatz $X = \{ x[0], x[1], \dots, x[N-1] \}$, der von einem unbekanntem Parameter θ abhängt.

Ges.: Bestimmung von θ mit Hilfe eines Schätzers, d.h. einer Funktion g mit

$$\hat{\theta} = g(x[0], x[1], \dots, x[N-1])$$



Grundidee: Modellierung der Wahrscheinlichkeitsdichtefunktion (WDF) der Daten in Abhängigkeit von θ

Klassische Schätztheorie: θ ist unbekannt, aber deterministisch, d.h. θ parametrisiert die WDF von x

Bayes'sche Schätztheorie: θ ist wie x die Realisierung einer Zufallsvariable => Modellierung über eine gemeinsame WDF
 $p(X, \theta) = p(X/\theta) p(\theta)$

Optimale Schätzer werden über Optimalitätskriterien gesucht, z.B. Minimierung der Varianz ohne systematische Fehler (MVU), kleinste Fehlerquadrate oder **Minimierung des mittleren quadratischen Fehlers**.

Mittlerer quadratischer Fehler

Ges.: Schätzer, der den (Bayes'schen) mittleren quadratischen Fehler

$$e(\hat{\theta}) = \iint (\theta - \hat{\theta})^2 p(X, \theta) dX d\theta \quad \text{minimiert.}$$

Bayes'sches Theorem: $p(X, \theta) = p(X|\theta) p(\theta)$ ←

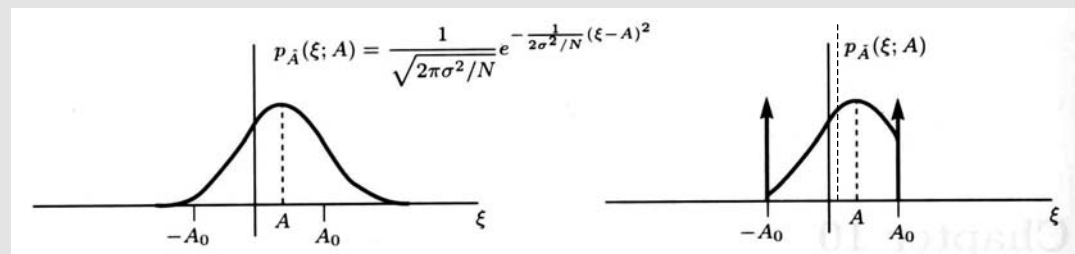
a-priori-WDF: vor Beobachtung
der Daten (Vorwissen)

$$\Rightarrow e(\hat{\theta}) = \int \left[\int (\theta - \hat{\theta})^2 p(\theta | X) d\theta \right] p(x) dX$$

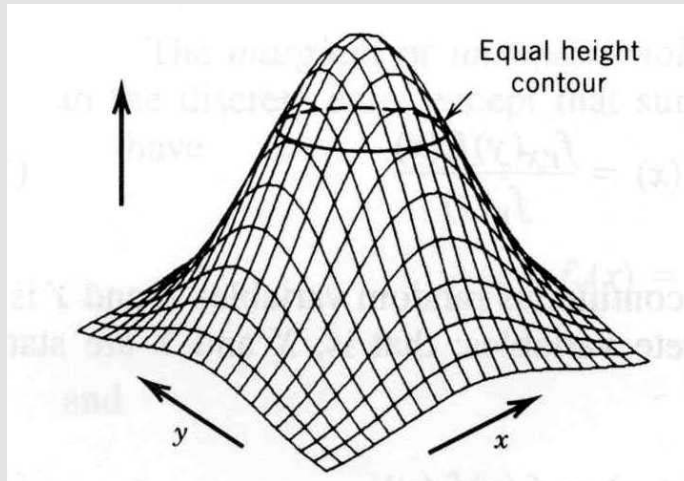
Wähle $\hat{\theta}$ so, daß e minimiert wird : $\frac{\partial}{\partial \hat{\theta}} \int (\theta - \hat{\theta})^2 p(\theta | X) d\theta = 0$

Ergebnis: $\hat{\theta} = \int \theta p(\theta | X) d\theta = E(\theta | X)$

d.h. der optimale Schätzer, der den mittleren quadratischen Fehler minimiert (MMQF-Schätzer), ist der *Mittelwert der a-posteriori-WDF* (a posteriori : nach Beobachtung der Daten).



Multivariate Gaußverteilung



$$p(x) = \frac{1}{\sqrt{(2\pi)^N \det C_x}} \exp\left[-\frac{1}{2}(x - \mu_x)^T C_x^{-1}(x - \mu_x)\right]$$

C_x : Kovarianzmatrix ($N \times N$, symmetrisch, positiv definit \Rightarrow invertierbar) mit $[C_x]_{ij} = E((x_i - E(x_i))(x_j - E(x_j)))$, μ_x : Mittelwert

• Ist C diagonal, dann sind die x_i unkorreliert und statistisch unabhängig, p faktorisiert in ein Produkt von 1D-Gaußfunktionen.

• Jede lineare Transformation von x mit $y = Ax + b$ ergibt wieder eine Gaußverteilung mit $\mu_y = A\mu_x + b$ und $C_y = AC_x A^T$.

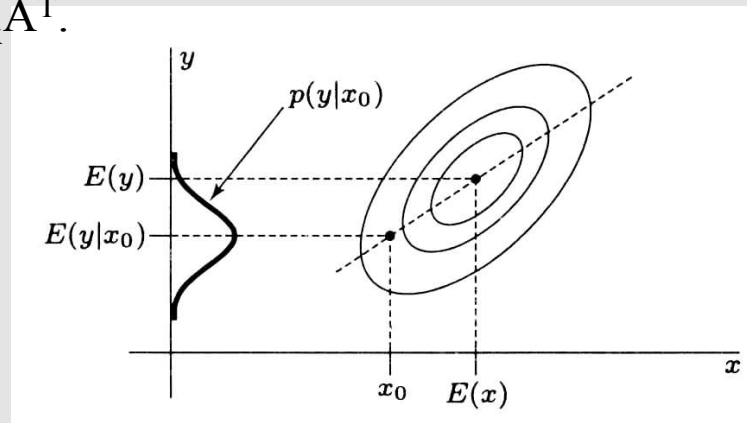
- Konturen konstanter Wahrscheinlichkeit sind Ellipsen
- Bedingte Wahrscheinlichkeiten sind wieder gaußverteilt mit

$$E(y | x) = E(y) + C_{xy} C_{xx}^{-1}(x - E(x))$$

$$C_{y|x} = C_{yy} - C_{yx} C_{xx}^{-1} C_{xy}$$

- Sind x_1 und x_2 unkorreliert, so gilt $E(y|x_1, x_2) = E(y|x_1) + E(y|x_2)$

MMQF-Schätzer für y



Orthogonalitätsprinzip (gilt für jeden linearen Schätzer)

MMQF-Schätzer für Gaußverteilung: $\hat{\theta} = E(\theta) + C_{x\theta} C_{xx}^{-1} (x - E(x))$

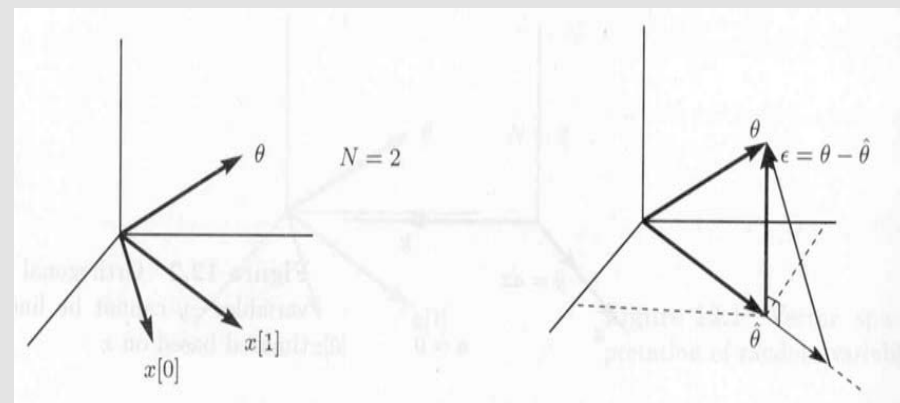
Annahme $E(x) = E(\theta) = 0 \Rightarrow \hat{\theta} = C_{x\theta} C_{xx}^{-1} x$
d.h. Schätzer ist eine Linearkombination der Daten

Anwendungsfall: Geg. seien Daten $x[1]$ bis $x[N-1]$, geschätzt werden soll $x[N]$.

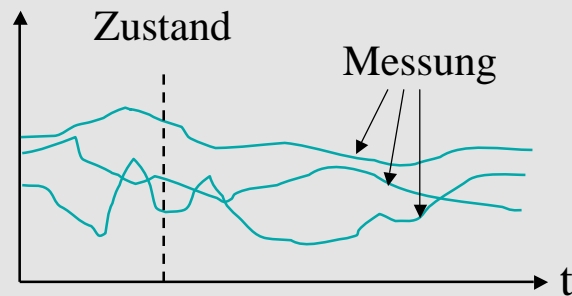
Innovation: Schätzfehler $\tilde{x}_N = \theta - \hat{\theta} = \theta - C_{x\theta} C_{xx}^{-1} x$

Korrelation: $E(\tilde{x}_n \cdot x) = E((\theta - C_{x\theta} C_{xx}^{-1} x) \cdot x) = C_{x\theta} - C_{x\theta} C_{xx}^{-1} E(xx)$
 $= C_{x\theta} - C_{x\theta} C_{xx}^{-1} C_{xx} = C_{x\theta} - C_{x\theta} = 0$

- Schätzfehler bzw. Innovation ist nicht mit den Daten korreliert, d.h. Innovation und Daten sind zueinander orthogonal
- MMQF-Schätzer nutzt die Korrelation der Daten untereinander aus bzw. „dekorreliert“ die Zeitreihe



Stochastische Prozesse



Zufallsvariable: Regel, die jedem Ausgang eines Zufallexperimentes eine *Zahl* zuweist.

Stochastischer Prozeß: Regel, die jedem Ausgang eines Zufallexperimentes eine *Funktion* bzw. eine *Zeitreihe* zuweist (d.h. ein Ensemble von Funktionen mit Wahrscheinlichkeitsdichte $p(x,t)$).

Charakterisierung:

- Mittelwert: $\mu_x(t) = E(x(t))$
- Autokorrelation: $R(t_1, t_2) = E(x(t_1)x(t_2))$ $R(t,t)$: Durchschnittsleistung
- Autokovarianz: $C(t_1, t_2) = R(t_1, t_2) - \mu(t_1)\mu(t_2)$ $C(t,t)$: Varianz

Stationärer Prozeß (im weiteren Sinne, WSS): Mittelwert konstant, Autokorrelation hängt nur von Zeitdifferenz ab.

Diskreter WSS-Prozeß: $R(t_1, t_2) \rightarrow r_{xx}[k] = E(x[n]x[n+1])$

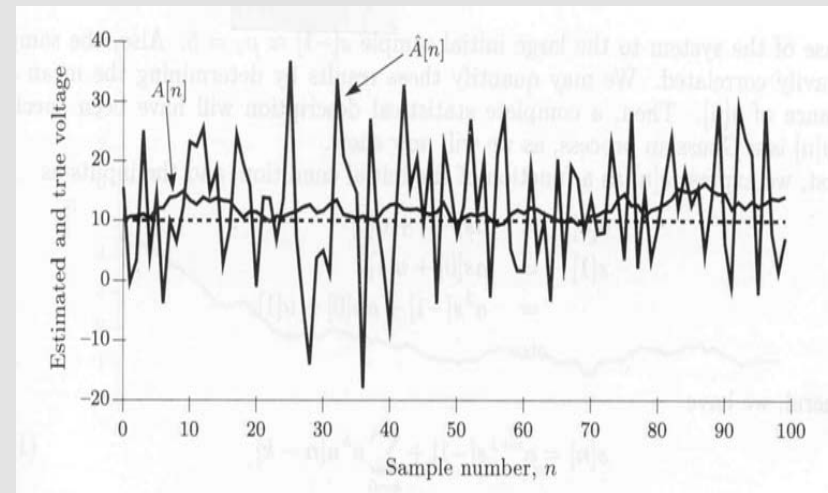
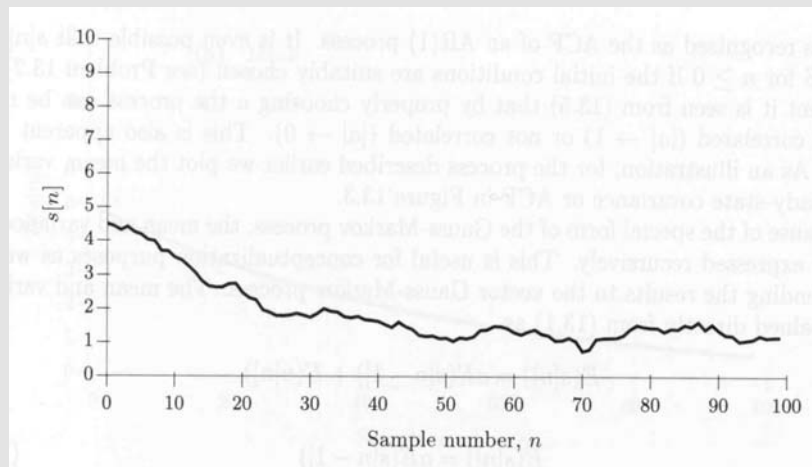
$$C(t_1, t_2) \rightarrow c_{xx}[k] = r_{xx}[k] - \mu_x^2$$

Skalarer Gauß-Markov-Prozeß

Statistische Modellierung eines Signals als korrelierter stochastischer Prozeß mit dem Zustandsmodell

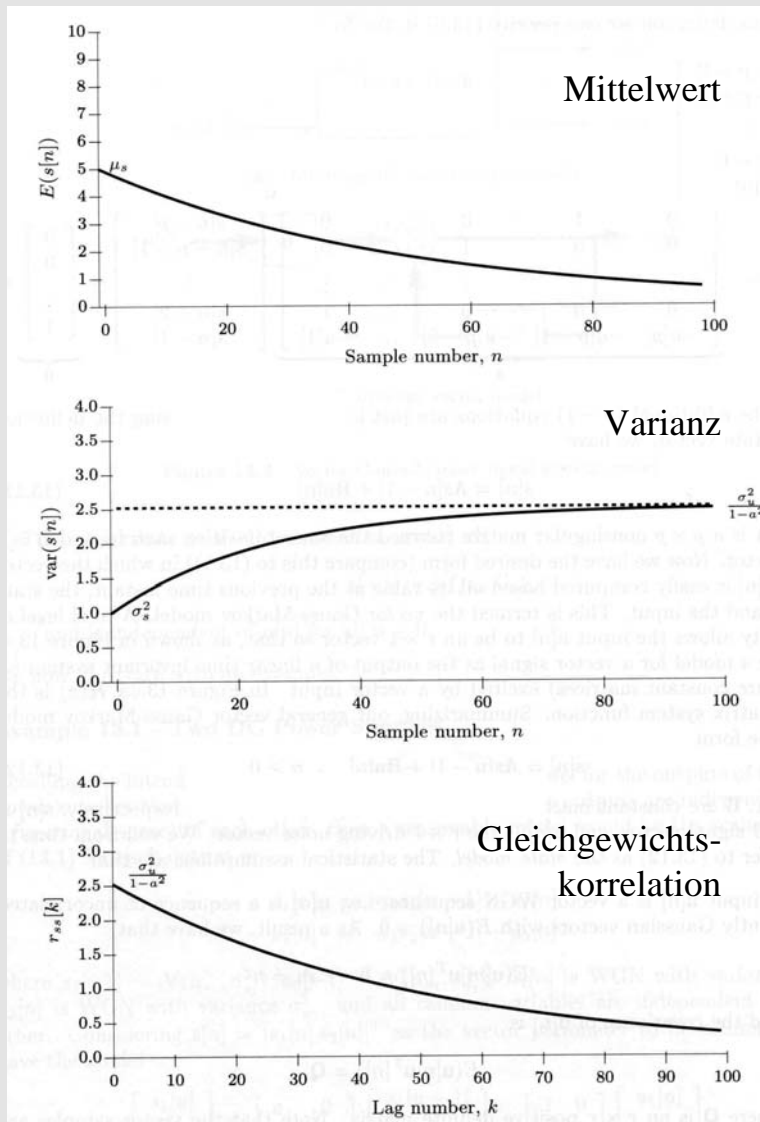
$$s[n] = as[n - 1] + u[n], \quad n \geq 0$$

mit Zustand $s[n]$, $u \sim N(0, \sigma_u^2)$, $s[-1] \sim N(\mu_s, \sigma_s^2)$ und $s[-1]$ unabhängig vom Anregungsrauschen u (Gauß-Markov-Prozeß 1. Ordnung).



- Zustand des Systems hängt nur vom vorherigen Zustand und vom Eingangswert u ab.
- Für $|a| < 1$ ist der Prozeß stabil, d.h. $s[n]$ bleibt beschränkt für alle n .
- Für $|a| \rightarrow 1$ ist der Prozeß stark, für $|a| \rightarrow 0$ schwach korreliert.
- Prozeß ist nicht stationär, wird es aber für unendliches n .
- $s[n]$ bleibt gaußverteilt für alle n .

Statistik des Gauß-Markov-Prozesses



Fortpflanzungsgleichungen:

$$\begin{aligned} E(s[n]) &= aE(s[n-1]) + E(u[n]) \\ &= aE(s[n-1]) \\ \Rightarrow E(s[n]) &\xrightarrow{n \rightarrow \infty} 0 \end{aligned}$$

$$\begin{aligned} \text{var}(s[n]) &= E\left[(s[n] - E(s[n]))^2\right] \\ &= E\left[(as[n-1] + u[n] - aE(s[n-1]))^2\right] \\ &= a^2 \text{var}(s[n-1]) + \sigma_u^2 \\ \Rightarrow \text{var}(s[n]) &\xrightarrow{n \rightarrow \infty} \frac{\sigma_u^2}{1-a^2} \end{aligned}$$

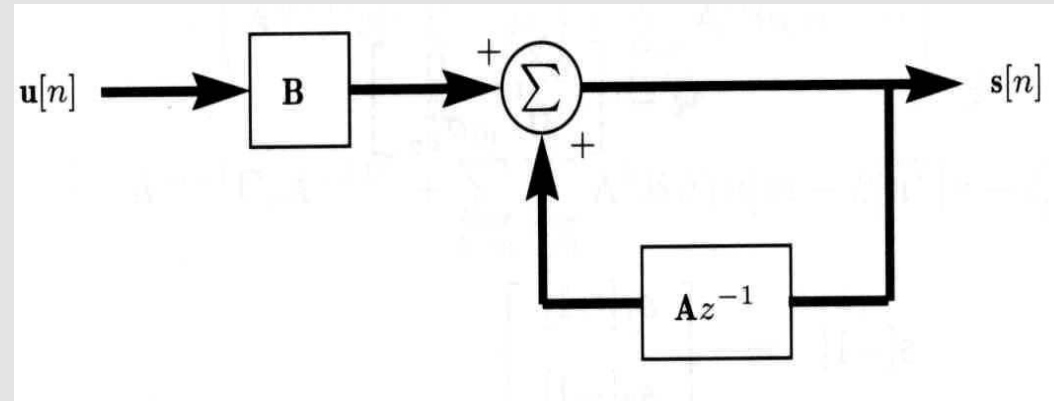
\Rightarrow Für unendliches n wird der Prozeß stationär mit Autokorrelationsfunktion

$$r_{ss}[k] = \frac{\sigma_u^2}{1-a^2} a^k$$

Vektorieller Gauß-Markov-Modell

Erweiterung des skalaren Modells auf $p \times 1$ - Signalvektoren $\mathbf{s}[n]$ und $r \times 1$ - dimensionales Anregungsrauschen $\mathbf{u}[n]$:

$$\mathbf{s}[n] = \mathbf{A}\mathbf{s}[n-1] + \mathbf{B}\mathbf{u}[n]$$



mit $p \times p$ - Matrix \mathbf{A} und $p \times r$ - Matrix \mathbf{B} , $\mathbf{u} \sim N(0, \mathbf{Q})$, $\mathbf{s}[-1] \sim N(\boldsymbol{\mu}_s, \mathbf{C}_s)$ und $\mathbf{s}[-1]$ unabhängig von der Eingangsgröße \mathbf{u} . \mathbf{A} und \mathbf{B} dürfen zeitlich variieren.

Fortpflanzungsgleichungen:

$$\mathbf{E}(\mathbf{s}[n]) = \mathbf{A}\mathbf{E}(\mathbf{s}[n-1])$$

$$\mathbf{C}[n] = \mathbf{A}\mathbf{C}[n-1]\mathbf{A}^T + \mathbf{B}\mathbf{Q}\mathbf{B}^T$$

$$\mathbf{E}(\mathbf{s}[n]) \xrightarrow{n \rightarrow \infty} 0$$

$$\mathbf{C}[n] \xrightarrow{n \rightarrow \infty} \sum_{k=0}^{\infty} \mathbf{A}^k \mathbf{B}\mathbf{Q}\mathbf{B}^T \mathbf{A}^{kT}$$

- für konstantes \mathbf{A} und \mathbf{B} wird der Prozeß asymptotisch stationär.
- für ein stabiles System müssen die Eigenwertbeträge von \mathbf{A} kleiner als 1 sein
- andere Eigenschaften analog zum skalaren Modell

Skalarer Kalmanfilter - Voraussetzungen

1. „Beobachtung“: Schätzung des Zustands ohne Berücksichtigung des Meßrauschens
„Filterung“: Schätzung des Zustands unter Berücksichtigung des Meßrauschens
=> Kalman-“Filter“
2. Skalares Gauß-Markov-Signalmodell: $s[n] = as[n - 1] + u[n]$, $n \geq 0$
Meßmodell (additives Gauß-Rauschen): $x[n] = s[n] + w[n]$ mit $w \sim N(0, \sigma_n^2[n])$
unabh. von u und $s[-1]$
3. Vereinfachung: $\mu_s = 0$
4. A-priori-Wissen über den im Signalmodell gegebenen zeitlichen Zusammenhang soll verwendet werden => Bayes'scher Ansatz.
5. Optimalitätskriterium: Minimierung des mittleren quadratischen Fehlers
6. Ges.: MMQF-Schätzer für $s[n]$ mit sequenzieller Korrektur, d.h. neue Schätzung soll sich aus der alten Schätzung $s[n - 1]$ und der aktuellen Beobachtung $x[n]$ berechnen.

Skalarer Kalmanfilter*

Vorhersage des Signals:

$$\hat{s}[n | n - 1] = a\hat{s}[n - 1 | n - 1]$$

Vorhersage des MMQF:

$$M[n | n - 1] = a^2 M[n - 1 | n - 1] + \sigma_u^2$$

Kalman-Gain:

$$K[n] = \frac{M[n | n - 1]}{\sigma_n^2 + M[n | n - 1]}$$

Korrektur der Signalschätzung:

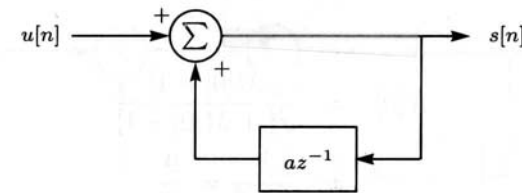
$$\hat{s}[n | n] = \hat{s}[n | n - 1] + K[n](x[n] - \hat{s}[n | n - 1])$$

Korrektur des MMQF:

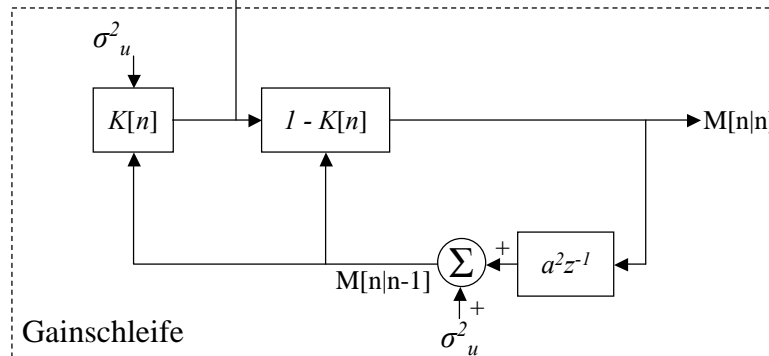
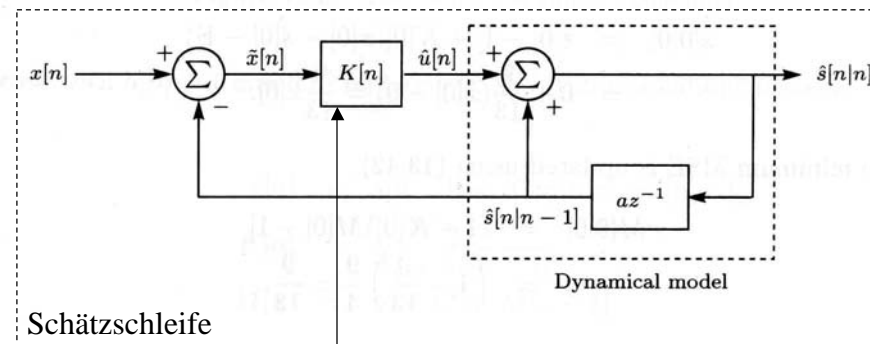
$$M[n | n] = (1 - K[n])M[n | n - 1]$$

Initialisierung:

$$\hat{s}[-1 | -1] = \mu_s, \quad M[-1 | -1] = \sigma_s^2$$



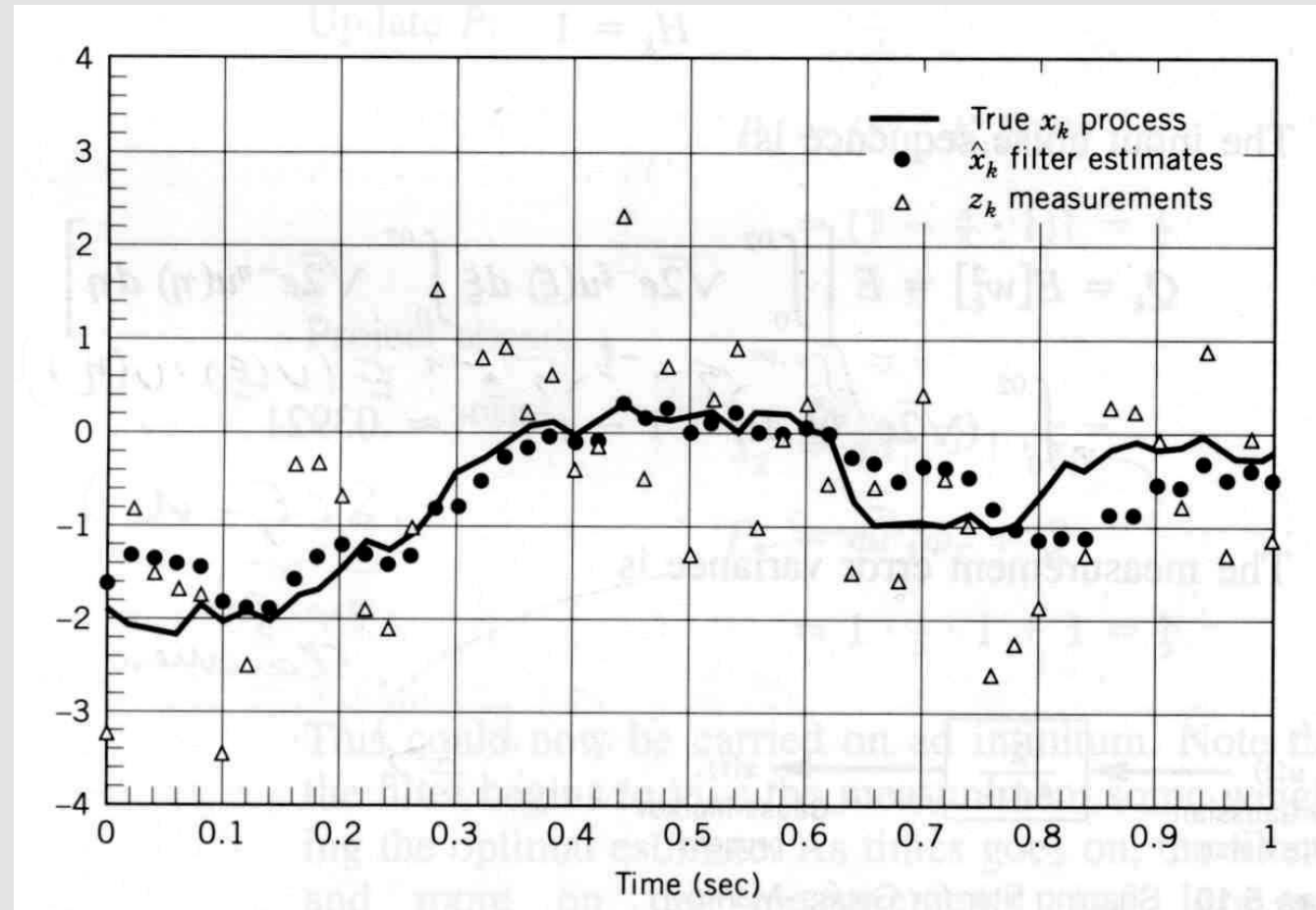
(a) Dynamical model



*identische Gleichungen für $\mu_s \neq 0$

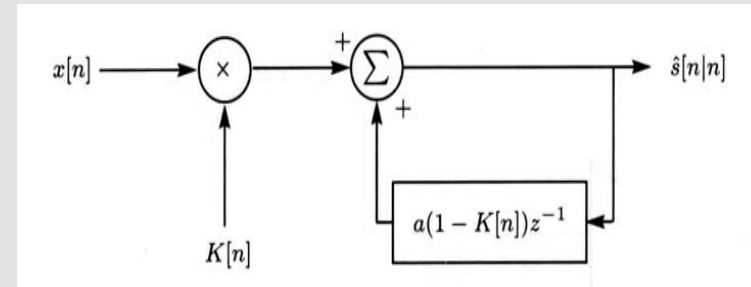
Beispiel

$$\begin{aligned} a &= 0.9802 \\ \sigma_u^2 &= 0.039 \\ \sigma_n^2 &= 1 \\ \mu_s &= 0 \\ \sigma_s^2 &= 1 \end{aligned}$$

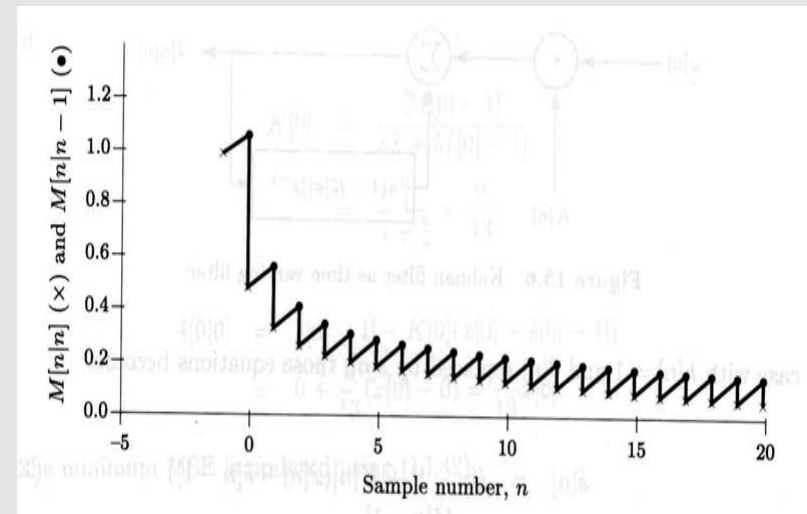


Kalmanfilter - Eigenschaften

- Gainberechnung läuft ohne Rückkopplung der Daten in einer unabhängigen Schleife
- Gain kann schon im voraus berechnet werden
- Gainschleife kann instabil werden
- Kalmanfilter ist ein rekursiver linearer Filter erster Ordnung mit zeitvarianten Koeffizienten
- Keine Matrixinversion notwendig
- Kalmanfilter liefert gleichzeitig sein eigenes Konfidenzmaß, den MMQF $M[n|n]$
- MMQF steigt im Vorhersageschritt und sinkt im Korrekturschritt.
- Kalmanfilter ist der bestmögliche lineare Filter, selbst wenn Gauß'sche Annahme nicht zutrifft.
- kann auf Vektorzustände und -messungen verallgemeinert werden.



$$\begin{aligned}\hat{s}[n | n] &= a\hat{s}[n - 1 | n - 1] + \\ &K[n](x[n] - a\hat{s}[n - 1 | n - 1]) \\ &= a(1 - K[n])\hat{s}[n - 1 | n - 1] + K[n]x[n]\end{aligned}$$



Vektorieller Zustand - skalare Messung

Signalmodell:

Vektorieller Gauß-Markov-Modell

$$\mathbf{s}[n] = A\mathbf{s}[n-1] + B\mathbf{u}[n]$$

mit Zusatzannahme Q diagonal.

Meßmodell:

$$x[n] = \mathbf{h}^T[n]\mathbf{s}[n] + w[n]$$

mit $w \sim N(0, \sigma_n^2[n])$ unabh. von \mathbf{u} und $\mathbf{s}[-1]$

- Kalman-Gain ist jetzt ein Vektor, MMQF eine Matrix
- Es müssen genügend Messungen vorhanden sein
- A und \mathbf{h} müssen bestimmten Bedingungen genügen (Beobachtbarkeit)

Vorhersage des Signals:

$$\hat{\mathbf{s}}[n | n-1] = A\hat{\mathbf{s}}[n-1 | n-1]$$

Vorhersage des MMQF (p x p - Matrix):

$$M[n | n-1] = AM[n-1 | n-1]A^T + BQB^T$$

Kalman-Gain-Vektor (p x 1):

$$\mathbf{K}[n] = \frac{M[n | n-1]\mathbf{h}[n]}{\sigma_n^2 + \mathbf{h}^T[n]M[n | n-1]\mathbf{h}[n]}$$

Korrektur der Signalschätzung:

$$\hat{\mathbf{s}}[n | n] = \hat{\mathbf{s}}[n | n-1] + \mathbf{K}[n](x[n] - \mathbf{h}^T[n]\hat{\mathbf{s}}[n | n-1])$$

Korrektur des MMQF:

$$M[n | n] = (1 - \mathbf{K}[n]\mathbf{h}^T[n])M[n | n-1]$$

Initialisierung:

$$\hat{\mathbf{s}}[-1 | -1] = \hat{\mathbf{i}}_s, \quad M[-1 | -1] = C_s$$

Vektorieller Zustand - vektorielle Messung

Signalmodell: wie vorher.

Lineares Meßmodell: Messungen sind $m \times 1$ - Vektoren

$$\mathbf{x}[n] = \mathbf{H}[n]\mathbf{s}[n] + \mathbf{w}[n]$$

mit $\mathbf{w} \sim N(0, \mathbf{C}[n])$ unabh. von \mathbf{u} und $\mathbf{s}[-1]$

- Kalman-Gain und MMQF sind Matrizen
- Achtung: Matrixinversion für Berechnung der Gainmatrix erforderlich.
- Erweiterungen:
 - A, B, Q zeitvariant => identische Gleichungen
 - zeitliche Korrelationen in \mathbf{w}
 - deterministisches \mathbf{u}

Vorhersage des Signals:

$$\hat{\mathbf{s}}[n | n - 1] = \mathbf{A}\hat{\mathbf{s}}[n - 1 | n - 1]$$

Vorhersage des MMQF ($p \times p$ - Matrix):

$$\mathbf{M}[n | n - 1] = \mathbf{A}\mathbf{M}[n - 1 | n - 1]\mathbf{A}^T + \mathbf{B}\mathbf{Q}\mathbf{B}^T$$

Kalman-Gain-Matrix ($p \times m$):

$$\mathbf{K}[n] = \mathbf{M}[n | n - 1]\mathbf{H}^T[n] \left(\mathbf{C}[n] + \mathbf{H}[n]\mathbf{M}[n | n - 1]\mathbf{H}^T[n] \right)^{-1}$$

Korrektur der Signalschätzung:

$$\hat{\mathbf{s}}[n | n] = \hat{\mathbf{s}}[n | n - 1] + \mathbf{K}[n](x[n] - \mathbf{H}[n]\hat{\mathbf{s}}[n | n - 1])$$

Korrektur des MMQF:

$$\mathbf{M}[n | n] = (1 - \mathbf{K}[n]\mathbf{H}[n])\mathbf{M}[n | n - 1]$$

Initialisierung:

$$\hat{\mathbf{s}}[-1 | -1] = \hat{\mathbf{i}}_s, \quad \mathbf{M}[-1 | -1] = \mathbf{C}_s$$

Erweiterter Kalmanfilter (EKF)

Erweiterung auf nichtlineares Signal- und Meßmodell mit additiven Rauschtermen:

$$\mathbf{s}[n] = \mathbf{a}(\mathbf{s}[n-1]) + \mathbf{B}\mathbf{u}[n] \quad \text{und} \quad x[n] = \mathbf{h}(\mathbf{s}[n]) + \mathbf{w}[n]$$

mit nichtlinearen Funktionen \mathbf{a} und \mathbf{h} . Geschlossene Lösung für MMQF-Schätzer ist nicht bekannt \Rightarrow Näherungslösung durch Linearisierung um $\hat{\mathbf{s}}[n-1|n-1]$ und $\hat{\mathbf{s}}[n|n-1]$

$$\mathbf{a}(\mathbf{s}[n-1]) \approx \mathbf{a}(\hat{\mathbf{s}}[n-1|n-1]) + \left. \frac{\partial \mathbf{a}}{\partial \mathbf{s}[n-1]} \right|_{\substack{\mathbf{s}[n-1]= \\ \hat{\mathbf{s}}[n-1|n-1]}} (\mathbf{s}[n-1] - \hat{\mathbf{s}}[n-1|n-1]) \quad \Rightarrow \quad A[n-1] = \left. \frac{\partial \mathbf{a}}{\partial \mathbf{s}[n-1]} \right|_{\substack{\mathbf{s}[n-1]= \\ \hat{\mathbf{s}}[n-1|n-1]}}$$

$$\mathbf{h}(\mathbf{s}[n]) \approx \mathbf{h}(\hat{\mathbf{s}}[n|n-1]) + \left. \frac{\partial \mathbf{h}}{\partial \mathbf{s}[n]} \right|_{\substack{\mathbf{s}[n]= \\ \hat{\mathbf{s}}[n|n-1]}} (\mathbf{s}[n] - \hat{\mathbf{s}}[n|n-1]) \quad \Rightarrow \quad H[n] = \left. \frac{\partial \mathbf{h}}{\partial \mathbf{s}[n]} \right|_{\substack{\mathbf{s}[n]= \\ \hat{\mathbf{s}}[n|n-1]}}$$

Filtergleichungen ändern sich nicht, bis auf

Vorhersage: $\hat{\mathbf{s}}[n|n-1] = \mathbf{a}(\hat{\mathbf{s}}[n-1|n-1])$

und Korrektur:

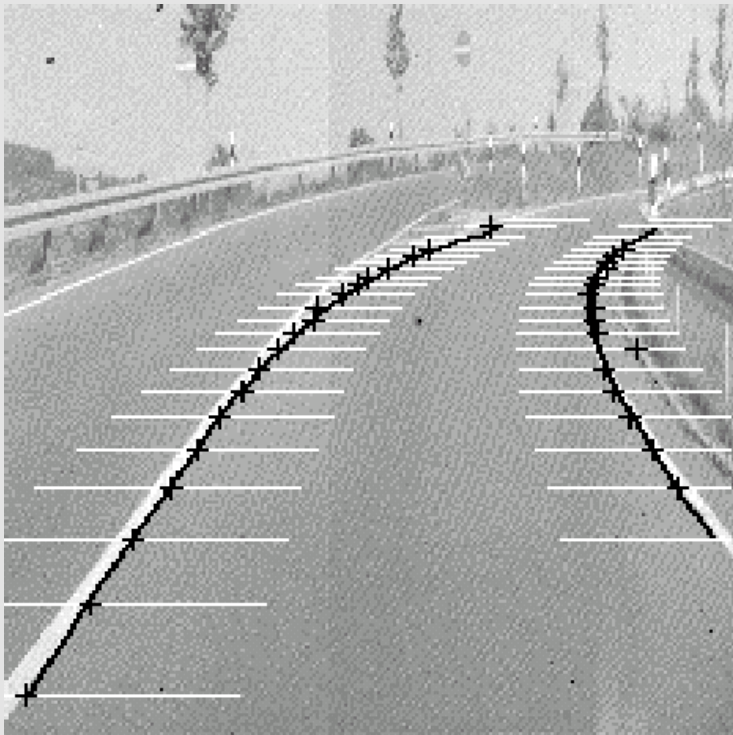
$$\hat{\mathbf{s}}[n|n] = \hat{\mathbf{s}}[n|n-1] + K[n](x[n] - \mathbf{h}(\hat{\mathbf{s}}[n|n-1]))$$

Achtung:

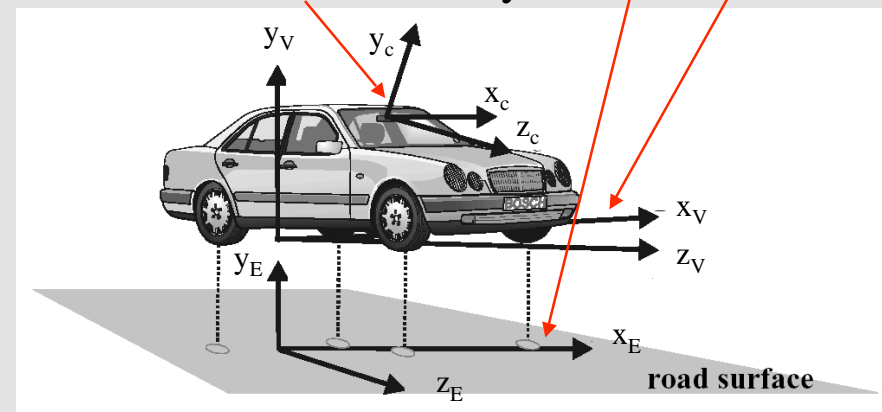
- keine Optimalitätseigenschaften
- M ist hier kein verlässliches Konfidenzmaß
- $A[n-1] H[n]$ müssen in jedem Zeitschritt neu berechnet werden.
- K und M können nicht im voraus berechnet werden.

Anwendungsbeispiel Spurwarner

Aufgabe: Detektion der Fahrbahnrandmarkierungen im Kamerabild, daraus Schätzung der Fahrzeugposition innerhalb des Spurverlaufs mit einem erweiterten Kalmanfilter und ggf. Warnung bei Verlassen der Spur.



3 Koordinatensysteme: Fahrbahn-, Fahrzeug- und Kamerakoordinatensystem:



Modellierung eines Zeitschritts

- Spurverlauf wird als Polynom 3. Grades beschrieben:

$$x_E(z_E) = \Delta x + \frac{c_0}{2} z_E^2 + \frac{c_1}{6} z_E^3$$

mit Krümmung

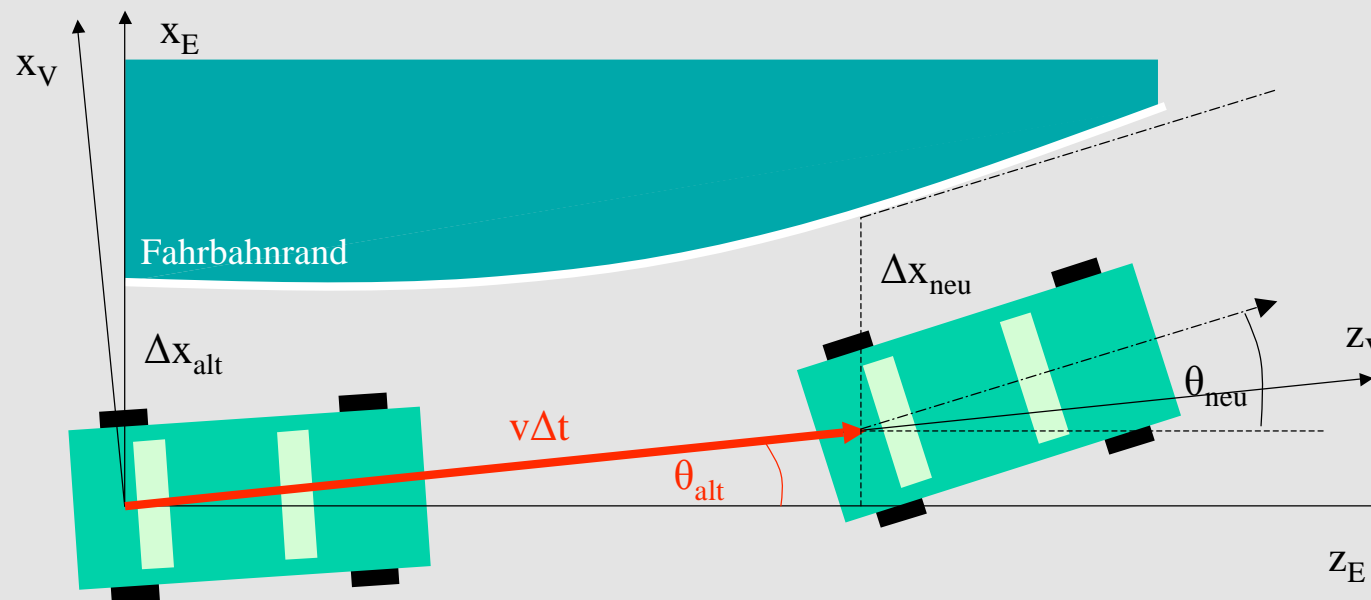
mit Krümmungsänderung

und Abstand zum Fahrbahnrand Δx

$$c_0 = \frac{d^2 x_E}{dz_E^2}$$

$$c_1 = \frac{d^3 x_E}{dz_E^3}$$

- Bewegung im Zeitschritt Δt sei stückweise konstant, d.h. erst Translation um $v \Delta t$ in Richtung θ , dann Drehung parallel zum Spurverlauf.
- Straßen-KS ist tangential zur Spur.
- v und Δt sei bekannt.



Aufstellen des Signalmodells

1. Spurposition:

$$\Delta x_{neu} = \Delta x_{alt} + \frac{c_0}{2} z_E^2 + \frac{c_1}{6} z_E^3 - v\Delta t \tan \theta$$

Annahme: Kleine Gierwinkel und Krümmungen

$$\xrightarrow{\theta \ll 1} z_E \approx v\Delta t, \quad \tan \theta \approx \theta \quad \Rightarrow$$

$$\Delta x_{neu} = \Delta x_{alt} + \frac{c_0^{alt}}{2} (v\Delta t)^2 + \frac{c_1^{alt}}{6} (v\Delta t)^3 - \theta v_{alt} \Delta t$$

2. Krümmung und Krümmungsänderung:

$$c_0^{neu} = c_0^{alt} + \left. \frac{\partial c_0}{\partial z_E} \right|_{z_E=0} \Delta z_E \quad \Rightarrow$$

$$c_0^{neu} = c_0^{alt} + c_1^{alt} v\Delta t$$

$$c_1^{neu} = c_1^{alt}$$

3. Gierwinkel: $\theta_{neu} = \theta_{alt} + \tan \frac{dx_E}{dz_E} \approx \theta_{alt} + \frac{dx_E}{dz_E} =$

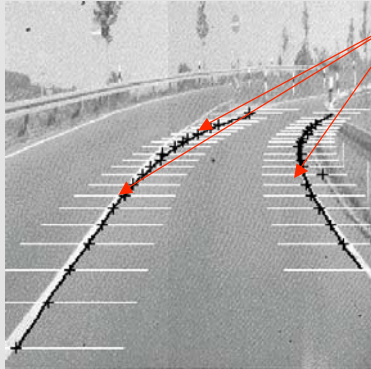
$$\theta_{alt} + c_0 z_E + \frac{c_1}{2} z_E^2 \quad \Rightarrow$$

$$\theta_{neu} = \theta_{alt} + c_0^{alt} v\Delta t + \frac{c_1^{alt}}{2} (v\Delta t)^2$$

=> Signalmodell: $\mathbf{s}[n] = \mathbf{A}\mathbf{s}[n-1] + \mathbf{u}[n]$ mit $\mathbf{s}[n] = (\Delta x, c_0, c_1, \theta)^T$ und

$$\mathbf{A} = \begin{pmatrix} 1 & \frac{1}{2}(v\Delta t)^2 & \frac{1}{6}(v\Delta t)^3 & -v\Delta t \\ 0 & 1 & v\Delta t & 0 \\ 0 & 0 & 1 & 0 \\ 0 & v\Delta t & \frac{1}{2}(v\Delta t)^2 & 1 \end{pmatrix}, \quad \mathbf{Q} = \begin{pmatrix} \sigma_{\Delta x}^2 & 0 & 0 & 0 \\ 0 & \sigma_{c_0}^2 & 0 & 0 \\ 0 & 0 & \sigma_{c_1}^2 & 0 \\ 0 & 0 & 0 & \sigma_{\theta}^2 \end{pmatrix}$$

Aufstellen des Meßmodells



1. N Beobachtungen pro Frame mit

$$\mathbf{x}[n] = \begin{pmatrix} x_b(\mathbf{s}[n], y_{b,1}) + w_1 \\ x_b(\mathbf{s}[n], y_{b,2}) + w_2 \\ \vdots \\ x_b(\mathbf{s}[n], y_{b,N}) + w_N \end{pmatrix}$$

2. Transformation Welt-Kamera:

$$x_C = \cos \theta x_E - \sin \theta z_E$$

$$y_C = y_E - h$$

$$z_C = \sin \theta x_E + \cos \theta z_E - d$$

mit Montagehöhe h und Entfernung zur Hinterachse d

3. Perspektivische Abbildung für $\theta \ll 1$:

$$x_b = f \frac{x_E - \theta z_E}{\theta x_E + z_E - d}$$

$$y_b = f \frac{y_E - h}{\theta x_E + z_E - d}$$

4. Auflösen nach z_E für $\theta z_E \ll z_E$:

$$z_E \approx d - \frac{fh}{y_b} \quad \text{einsetzen}$$

$$x_b = f \frac{\Delta x + \frac{c_0}{2} z_E^2 + \frac{c_1}{6} z_E^3 - \theta z_E}{\theta \left(\Delta x + \frac{c_0}{2} z_E^2 + \frac{c_1}{6} z_E^3 \right) + z_E - d}$$

=> erweiterter Kalmanfilter benötigt linearisierte Meßgleichung mit den Ableitungen $\frac{\partial x_b}{\partial(\Delta x)}$, $\frac{\partial x_b}{\partial \theta}$, $\frac{\partial x_b}{\partial c_0}$, $\frac{\partial x_b}{\partial c_1}$

Beispiele

